

сообщения
объединенного
института
ядерных
исследований
дубна

РЗ-85-285

В.В.Голиков, Е.Н.Кулагин, Ю.В.Никитенко

КАНАЛ УЛЬТРАХОЛОДНЫХ НЕЙТРОНОВ
НА РЕАКТОРЕ ИБР-2

1985

Весьма малая энергия ультрахолодных нейтронов / $\approx 10^{-7}$ эВ/ и связанная с этим такая особенность, как возможность удержания в ловушках, позволяет использовать их в ряде специфических экспериментов ^{1/}. На созданном в Лаборатории нейтронной физики ОИЯИ импульсном реакторе на быстрых нейтронах ИБР-2 ^{2/} введена в эксплуатацию первая очередь канала УХН, обеспечивающая получение и транспортировку УХН от замедлителя реактора до экспериментальных установок.

1. КОНСТРУКЦИЯ КАНАЛА

Канал УХН размещается на горизонтальном пучке № 3 реактора ИБР-2 /рис.1/. Нейtronовод канала изготовлен из электрополированых труб из нержавеющей стали с внутренним диаметром 187 мм. Общая длина канала ~ 9,6 м. Наиболее близко расположенная к активной зоне реактора головная часть канала представляет собой прямолинейный отрезок длиной 3,2 м, далее нейtronовод плавно изогнут с радиусом кривизны ~ 30 м. Изогнутая часть нейtronовода позволяет вывести в экспериментальный зал не только УХН, но и медленные нейтроны со скоростями до 100 м/с. Для получения чистого пучка УХН в экспериментальном зале к каналу УХН подсоединяются угловые повороты из электрополированной нержавеющей стали или меди.

В головной части канала размещен конвертор-источник УХН, восстанавливающий низкоэнергетическую часть максвелловского спектра тепловых нейтронов, выходящих из водяного замедлителя реактора ИБР-2, которая теряется при прохождении нейтронов через 10-миллиметровый слой воздуха и стенку нейtronовода. В качестве конвертора имеется возможность использовать воду, намораживающую на холодную алюминиевую подложку.

Для охлаждения конвертора до температуры 18-20 К предусмотрена возможность использования газообразного холодного гелия. Головная часть канала УХН охлаждается проточной водой из системы водяного замедлителя ИБР-2. Канал № 3 в бетонной защите реактора имеет прямоугольный вид со сторонами 230 и 400 мм. Поскольку внешний диаметр нейtronовода УХН равен 219 мм, часть отверстия в бетонной защите используется для подвода к конвертору холодного гелия, термопар и газообразного водорода.

Во избежание излишней активации в нерабочем состоянии канал УХН находится на расстоянии 3 м от активной зоны реактора в кольцевом коридоре. В это время пучок № 3 перекрыт защитным шибером

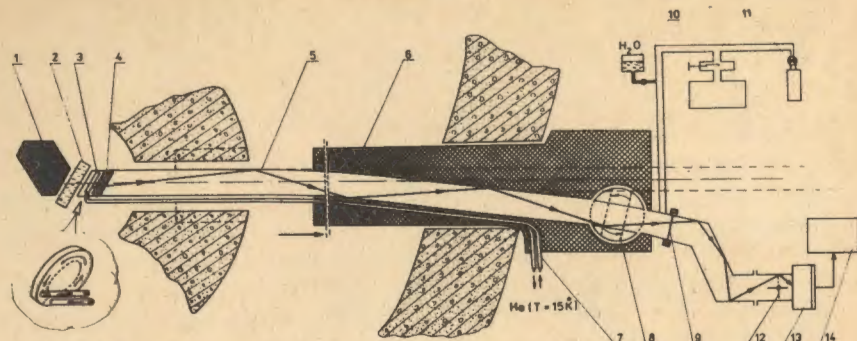


Рис.1. Схема канала УХН. 1 - активная зона реактора; 2 - замедлитель; 3 - конвертор УХН; 4 - дополнительный замедлитель; 5 - изогнутый нейтроновод; 6 - защита; 7 - криогенные трубопроводы; 8 - защитный шибер; 9 - вакуумная мембрана; 10 - вода для намораживания конвертора; 11 - система вакуумной безмасляной откачки; 12 - шторка; 13 - детектор; 14 - электронная аппаратура.

реактора. В рабочем режиме канал УХН перемещается почти вплотную к замедлителю реактора - расстояние между поверхностью замедлителя и головной частью канала УХН ~ 10 мм. Система перемещения канала УХН позволяет также выдвигать канал вместе с защитой полностью в экспериментальный зал для проведения крупных профилактических работ: в это время отверстие в биологической защите реактора закрывается защитной пробкой, а головная часть канала окружается дополнительной свинцовой защитой.

На конце изогнутого нейтроновода в экспериментальном зале установлен вращающийся защитный шибер длиной ~ 1 м для уменьшения фона быстрых нейтронов и γ-лучей во время проведения персоналом наладочных работ на экспериментальных установках канала УХН.

Внутренняя полость нейтроновода канала УХН герметично отделяется от присоединяемых к нему экспериментальных установок с помощью алюминиевой вакуумной мембранны толщиной ~ 100 мкм. Внутри нейтроновода УХН поддерживается вакуум ~ 10^{-6} Тор, обеспечиваемый сорбционными и магнитно-электроразрядными насосами безмасляной откачки.

В качестве детектора УХН используется пропорциональный счетчик на основе $^3\text{He}/^8/\text{He}$. Эффективность детектора к УХН определяется пропусканием окна счетчика, изготовленного из алюминиевой фольги толщиной 100 мкм, и для изотропного потока нейтронов в интервале скоростей $0 \div 5,7$ м/с составляет ~50%. Максимальная площадь детектора 130 см^2 . Для измерения фона детектор перекрывается мед-

ной шторкой толщиной 8 мкм. Накопление и первичная обработка информации проводится измерительным модулем на базе малой ЭВМ MERA-60^{/4/}.

2. ОСНОВНЫЕ ХАРАКТЕРИСТИКИ КАНАЛА

По технологическим соображениям /возможность быстрой смены конвертора УХН/ исследование основных характеристик канала и выбор конфигурации источника УХН проводились на канале, в котором головная часть длиной 3,2 м была изготовлена из электрополированной трубы из нержавеющей стали с внутренним диаметром 127 мм. При низкой мощности реактора / $W \leq 500 \text{ кВт}$ / конвертором служил полиэтиленовый диск площадью 100 см^2 и толщиной 1 мм. При работе реактора на мощности 2 МВт вместо полиэтилена в качестве конвертора использовался магний площадью 130 см^2 и толщиной 5 мм.

При температуре конвертора T_k равной температуре нейтронного спектра T_h , падающего на конвертор, поток УХН из полиэтилена Φ_{UHN} соответствует потоку в равновесном максвелловском спектре^{/5/}:

$$\Phi_{\text{UHN}} = \frac{\Phi_T}{8} \left(\frac{E_{\text{grp}}}{T_h} \right)^2,$$

/1/

где E_{grp} - граничная энергия полного отражения нейтронов от стенок нейтроновода /для нержавеющей стали $E_{\text{grp}} = 1,82 \cdot 10^{-7}$ эВ; для меди $E_{\text{grp}} = 1,65 \cdot 10^{-7}$ эВ/, Φ_T - поток тепловых нейтронов, падающих на конвертор.

Определение потока тепловых нейтронов проводилось по активации золота как на поверхности водяного замедлителя реактора ИБР-2, так и непосредственно в месте расположения конвертора внутри нейтроновода канала УХН. Средняя величина потока тепловых нейтронов на поверхности замедлителя оказалась равной $2,2 \cdot 10^{12} \text{ н/см}^2 \cdot \text{с.МВт}$; в районе конвертора $\sim 10^{12} \text{ н/см}^2 \cdot \text{с.МВт}$. Связанное с конструктивными особенностями замедлителя ИБР-2 распределение потока тепловых нейтронов по поверхности замедлителя показано на рис.2.

Согласно /1/, поток УХН из полиэтиленового конвертора при $T_k = T_h = 300 \text{ K}$, $\Phi_{\text{UHN}} = 6,6 \text{ УХН/см}^2 \cdot \text{с.МВт}$, в случае нейтроновода из нержавеющей стали; и $\Phi_{\text{UHN}} = 5,4 \text{ УХН/см}^2 \cdot \text{с.МВт}$, в случае нейтроновода из меди. Из-за большого фона очень медленных нейтронов провести измерения потока УХН непосредственно на выходе изогнутого нейтроновода не представилось возможным. Сведения о качестве нейтроновода канала были получены при подсоединениях к изогнутому нейтроноводу как 90-градусного уголкового поворота из нержавеющей стали с внутренним диаметром 187 мм и длиной ~ 1 м, так и трех 60-градусных поворотов из электрополированной меди с внутренним диаметром 200 мм и общей длиной ~ 2,5 м. Проведенные измерения показали, что пропускание УХН 90-градусным

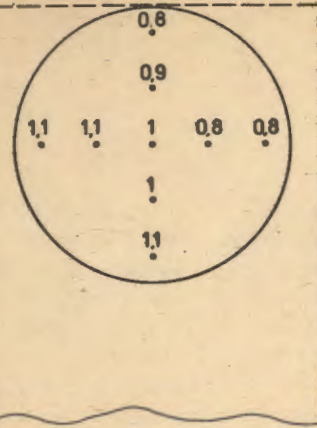


Рис.2. Схема распределения потока тепловых нейтронов по поверхности замедлителя пучка № 3. За "1" принят поток, равный $2,2 \cdot 10^{12}$ н/см²·с·МВт.

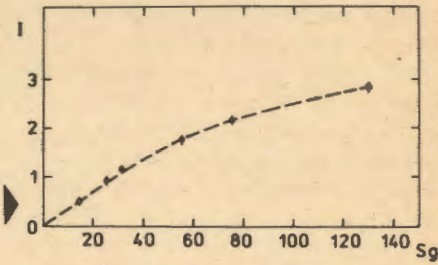


Рис.3. Интенсивность UXN I / в относительных единицах/ в зависимости от площади детектора S_d /в см²/.

поворотом составляет 0,45, а трех 60-градусных поворотов ~ 0,56.

При мощности реактора $W=100$ кВт скорость счета UXN детектором после трех 60-градусных поворотов составила 1,5 н/с при отношении эффекта к фону /детектор закрыт медной шторкой/ 20:1. Зависимость счета детектора от его площади показана на рис.3.

Учитывая, что эффективность детектора ~50%, можно заключить, что пропускание нейtronовода из нержавеющей стали, определяемое как отношение потока UXN на выходе к потоку UXN на входе, составляет ~ 0,075. Выкладывание всего канала UXN отрезками электрополированых медных труб привело к увеличению скорости счета UXN в 1,6 раз, что соответствует пропусканию нейtronовода ~ 0,145.

Распространение UXN по нейtronоводу обычно характеризуется в диффузационном приближении /6/ потоком

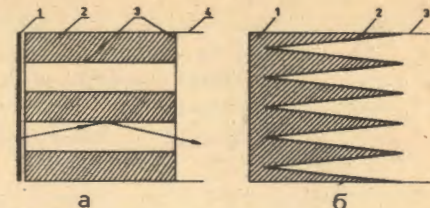
$$J(z) = -D \frac{dn(z)}{dz}, \quad /2/$$

где D - коэффициент диффузии; $n(z)$ - плотность UXN в сечении канала с координатой z , подчиняющаяся уравнению

$$\frac{d^2n(z)}{dz^2} = -\frac{n(z)}{L_0^2}, \quad /3/$$

где $L_0 = \sqrt{DT}$ - диффузационная длина; $T = d/v_\mu$ - время жизни UXN в нейtronоводе; d - средняя длина пробега между двумя соударениями со стенкой канала; v - скорость UXN; μ - вероятность потери UXN при одном соударении.

Рис.4. Схемы дополнительных замедлителей: а/ "дырочный": 1 - полиэтиленовый конвертор, 2 - полиэтилен, 3 - медная фольга, 4 - нейtronовод UXN; б/ гребенчатый: 1 - полиэтилен, 2 - медная фольга, 3 - нейtronовод.



При решении уравнения /3/ используются граничные условия:

$$J_{+}(0) = (1 - \eta) J_0 + \eta J_{+}(0), \quad J_{+}(l) = \nu J_{+}(l), \quad /4/$$

где J_{+}, J_{-} - поток UXN от конвертора и к конвертору соответственно; J_0 - поток UXN в конверторе; η - коэффициент отражения UXN от начала нейtronовода /конвертора/; ν - коэффициент отражения UXN от конца нейtronовода; l - длина нейtronовода.

Коэффициенты отражения η и ν берутся в следующем виде:

$$\eta = 1 - \frac{\mu_k S_k}{S_h}, \quad \nu = 1 - \frac{\mu_d S_d + \mu_0 S_0}{S_h}, \quad /5/$$

где S_h - сечение нейtronовода; S_k - площадь конвертора; μ_k - коэффициент поглощения UXN конвертором; S_d - площадь детектора; μ_d - коэффициент поглощения UXN детектором; S_0 и μ_0 - площадь и коэффициент поглощения UXN поглотителем /в случае его наличия вблизи детектора/.

Решая уравнение /3/, получаем следующее выражение для скорости счета UXN детектором /6/:

$$J_d(v) = \frac{J_0 \mu_d S_d (1 + \frac{2\eta}{1-\eta})}{(1-\eta) \{ (1 + \frac{\eta}{1-\eta} + \frac{\nu}{1-\nu}) \operatorname{ch} \frac{l}{L_0} + \frac{1}{2} [\frac{L_0 v}{2D} + \frac{2D}{L_0 v} (1 + \frac{2\eta}{1-\eta})(1 + \frac{2\nu}{1-\nu})] \operatorname{sh} \frac{l}{L_0} \}} \quad /6/$$

Выражение /6/ нужно усреднить по спектру UXN. В предположении максвелловского спектра скоростей UXN

$$J_d = \frac{4}{v_{gr}^4} \int_0^{v_{gr}} J_d(v) v^3 dv. \quad /7/$$

Для канала UXN в случае полиэтиленового конвертора и отсутствия поглотителя $\bar{\eta} = 0,5$ и $\bar{\nu} = 0,8$. Средние значения \bar{D} и \bar{L}_0 для медного нейtronовода канала UXN были оценены из измерений зависимости счета UXN от площади детектора и поглотителя /полиэтилен/ и длины нейtronовода: $\bar{D} = 1,6 \text{ м}^2/\text{с}$; $\bar{L}_0 = 6,5 \text{ м}$. Отсюда $T = 26 \text{ с}$, $\bar{\mu} \sim 1,4 \cdot 10^{-8}$. Подставляя указанные значения \bar{D} и \bar{L} в /6/, получаем, что элементарная теория диффузии дает пропускание использованного нейtronовода ~0,20.

Как показали исследования на реакторе ИБР-30 /7/, поток тепловых нейтронов на конверторе может быть значительно увеличен пу-

тем постановки внутри нейtronовода дополнительного замедлителя. Измерения по выбору оптимальной конфигурации дополнительного замедлителя были проведены с двумя типами замедлителей: дырочным и гребенчатым /8/ рис. 4/. Дырочный замедлитель представлял собой цилиндр из полиэтилена площадью 100 см² и толщиной 100 мм. Соосно оси в цилиндре были сделаны несколько сквозных отверстий диаметром 20 мм, выложенных медью, для выхода УХН. Получено, что оптимум выхода УХН наблюдается при суммарной площади отверстий ~ 25÷30% от площади дополнительного замедлителя и в 2,3 раза превышает выход УХН из плоского конвертора.

Гребенчатый замедлитель длиной ~ 100 мм и угловым раствором 12°, устанавливаемый вместо плоского конвертора, был также изготовлен из полиэтилена /рис. 4б/. Концы пилообразных выступов замедлителя были покрыты медной фольгой. Коэффициент увеличения выхода УХН гребенчатым конвертором по сравнению с плоским оказался равным 1,4.

3. СПЕКТР НЕЙТРОНОВ КАНАЛА УХН

Измерения спектров нейтронов канала УХН проводились с магниевым конвертором.

1. Спектр нейтронов на выходе изогнутого нейtronовода изменился по методу времени пролета. В качестве детектора использовался тонкий пропорциональный счетчик площадью 130 см², заполненный газовой смесью с низким содержанием ³He /~0,25 Torr/, эффективность которого менялась по закону 1/v во всем интервале измеряемых энергий /для нейтронов со скоростью 60 м/с эффективность детектора составляла ~1%. Для учета фона быстрых запаздывающих нейтронов детектор перекрывался кадмием толщиной 0,5 мм. Результаты измерений представлены на рис. 5. Как и следовало ожидать, изогнутый нейtronовод резко уменьшает пропускание нейтронов со скоростями > 100 м/с.

2. Спектр УХН определялся на выходе подсоединенном к изогнутому нейtronоводу четырех угловых поворотов /одного прямоугольного и трех 60-градусных/ путем измерения зависимости счета УХН от высоты подъема детектора над уровнем нейtronовода. Необходимое положение детектора относительно оси канала достигалось изменением

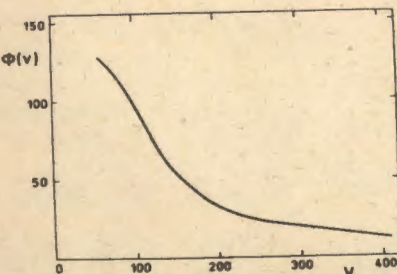


Рис. 5. Форма спектра нейтронов на выходе изогнутого нейtronовода $\Phi(v)$ в единицах н/с · МВт, v — в м/с.

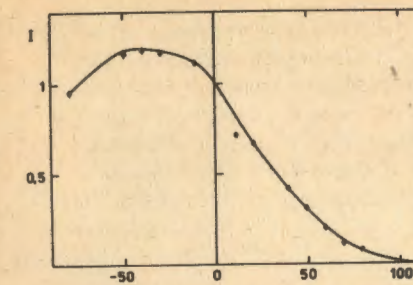


Рис. 6. Интенсивность УХН I в зависимости от положения детектора по высоте z /см/. Сплошная кривая — расчет по формуле /8/ при максвелловском виде спектра УХН.

длины электрополированных медных цилиндров, соединяющих детектор с выходом канала. Из-за наличия в детекторе алюминиевого окна максимальное расстояние между детектором и осью канала не превышало 110 см. На рис. 6 приведены экспериментальная и теоретическая зависимости скорости счета детектора $J(z)$ от его положения z по вертикали от поверхности канала.

Для расчета теоретической кривой использовались следующие выражения:

$$\begin{aligned}
 J(z) = C & \int_{\frac{v_1^2 - v_z^2}{\sqrt{v_1^2 + 2gz}}}^{\frac{v_M^2 - v_z^2}{\sqrt{v_1^2 + 2gz}}} v_z dv_z \int_0^{\frac{v_p \rho(v) dv_p}{\sqrt{v_2^2 - v_z^2}}} ; \quad z > \frac{v_2^2 - v_1^2}{2g} ; \\
 J(z) = C & \left\{ \int_{\frac{v_2^2 - v_z^2}{\sqrt{v_1^2 + 2gz}}}^{\frac{v_M^2 - v_z^2}{\sqrt{v_1^2 + 2gz}}} v_z dv_z \int_0^{\frac{v_p \rho(v) dv_p}{\sqrt{v_2^2 - v_z^2}}} + \right. \\
 & \left. + \int_{\frac{v_2^2 - v_z^2}{\sqrt{v_1^2 + 2gz}}}^{\frac{v_M^2 - v_z^2}{\sqrt{v_2^2 + 2gz}}} v_z dv_z \int_0^{\frac{v_p \rho(v) dv_p}{\sqrt{v_3^2 - v_z^2}}} \right\} ; \quad \frac{v_2^2 - v_3^2}{2g} < z < \frac{v_2^2 - v_1^2}{2g} ; \\
 J(z) = C & \left\{ a \left[\int_{\frac{v_2^2 - v_z^2}{\sqrt{v_1^2 + 2gz}}}^{\frac{v_2^2 - v_z^2}{\sqrt{v_2^2 + 2gz}}} v_z dv_z \int_0^{\frac{v_p \rho(v) dv_p}{\sqrt{v_2^2 - v_z^2}}} + \int_{\frac{v_2^2 - v_z^2}{\sqrt{v_2^2 + 2gz}}}^{\frac{v_M^2 - v_z^2}{\sqrt{v_2^2 + 2gz}}} v_z dv_z \times \right. \right. \\
 & \left. \left. \int_0^{\frac{v_p \rho(v) dv_p}{\sqrt{v_3^2 - v_z^2}}} \right] + (1-a) \left[\int_{\frac{v_2^2 - v_z^2}{\sqrt{v_1^2 + 2gz}}}^{\frac{v_2^2 - v_z^2}{\sqrt{v_3^2 + 2gz}}} v_z dv_z \int_0^{\frac{v_p \rho(v) dv_p}{\sqrt{v_2^2 - v_z^2}}} + \right. \right. \\
 & \left. \left. \int_{\frac{v_2^2 - v_z^2}{\sqrt{v_3^2 + 2gz}}}^{\frac{v_M^2 - v_z^2}{\sqrt{v_3^2 + 2gz}}} v_z dv_z \int_0^{\frac{v_p \rho(v) dv_p}{\sqrt{v_2^2 - v_z^2}}} \right] \right\} ; \quad z < \frac{v_2^2 - v_3^2}{2g} .
 \end{aligned} \quad /8/$$

где С - нормировочная константа, v_1 - граничная скорость материала окна детектора (3,21 м/с), v_2 - граничная скорость материала конвертора (3,37 м/с), v_3 - граничная скорость материала фланца детектора (6 м/с), v_m - максимальная скорость УХН в спектре, g - ускорение свободного падения, α - доля площади входного окна детектора по отношению к сечению нейtronовода, $1-\alpha$ - доля площади нейtronовода, приходящаяся на стальной фланец детектора, $\rho(v) = \rho_1(v)\rho_2(v)$, $\rho_1(v)$ - коэффициент прохождения УХН через границу конвертор - вакуум^{5/5}, $\rho_2(v)$ - коэффициент прохождения УХН входного окна детектора. Видно, что экспериментальные данные удовлетворительно описываются кривой, предполагающей спектр скоростей УХН максвелловским, обрезанным со стороны низких энергий, с $v_m = 5,67$ м/с, соответствующей значению граничной скорости меди. Для граничной скорости материала фланца детектора взято значение 5,77 м/с, что несколько меньше теоретического значения граничной скорости для нержавеющей стали ≈ 6 м/с, из которой изготовлен фланец детектора. Расхождение между v_3 и v_{gr} для нержавеющей стали, возможно, связано с частичным вытеканием УХН через боковые стенки медной трубы, возникающим вследствие диффузного рассеяния УХН на поверхности.

Авторы признателны В.К.Игнатовичу за полезные обсуждения, В.Б.Дучицу, А.В.Русакову, О.М.Стрелковой за помощь при проведении экспериментов.

ЛИТЕРАТУРА

- Шапиро Ф.Л. ОИЯИ, РЗ-7135. Дубна. 1973.
- Ананьев Б.Д. и др. ОИЯИ. РЗ-10888, Дубна, 1977; ПТЭ, 1977, № 5, с.17.
- Стрелков А.В. ОИЯИ, З-5937, Дубна, 1971.
- Голиков В.В. и др. ОИЯИ, Р13-83-215, Дубна, 1983.
- Голиков В.В., Лущиков В.И., Шапиро Ф.Л. ЖЭТФ, 1972, 64, 1, 73.
- Игнатович В.К., Терехов Г.И. ОИЯИ, Р4-10548, Дубна, 1977.
- Голиков В.В., Лущиков В.И., Шапиро Ф.Л. Нейтронная физика, "Наукова думка", Киев, 1972, ч.1.
- Гундорин Н.А., Назаров В.М. ОИЯИ, РЗ-80-721, Дубна, 1980.

Рукопись поступила в издательский отдел
22 апреля 1985 года

Голиков В.В., Кулагин Е.Н., Никитенко Ю.В.
Канал ультрахолодных нейтронов
на реакторе ИБР-2

РЗ-85-285

Приводятся описание конструкции и результаты исследований основных характеристик канала ультрахолодных нейтронов /УХН/ на реакторе ИБР-2. Распространение УХН по каналу описывается теорией диффузии. Из измерений зависимости счета УХН от площади детектора и поглотителя и длины нейtronовода определены основные параметры медного нейtronовода канала УХН: коэффициент диффузии $1,6 \text{ м}^2 \cdot \text{s}^{-1}$, диффузационная длина 6,5 м. При указанных параметрах элементарная теория диффузии дает пропускание использованного нейtronовода 0,2, что согласуется с экспериментальными данными. Определены спектры нейтронов, выходящих из различных участков канала.

Работа выполнена в Лаборатории нейтронной физики ОИЯИ.

Сообщение Объединенного института ядерных исследований. Дубна 1985

Перевод О.С.Виноградовой

Golikov V.V., Kulagin E.N., Nikitenko Yu.V.
UCN Channel at the IBR-2 Reactor

РЗ-85-285

The construction of UCN channel at the IBR-2 reactor and its principal characteristics are described. The propagation of UCN along the channel is described in the frame of the diffusion theory. The main characteristics of the copper UCN guide-diffusion coefficient and diffusion length are found to be $1,6 \text{ m}^2 \cdot \text{s}^{-1}$ and 6,5 m, respectively, from the dependence of UCN counting rate on the area of detector and adsorbed and neutron guide length. With the parameters reported the elementary diffusion theory admits an approx. 0.20 transmission of the guide used which is in agreement with the experimental data. The neutron spectra from different parts of the guide are measured.

The investigation has been performed at the Laboratory of Neutron Physics, JINR.

Communication of the Joint Institute for Nuclear Research. Dubna 1985